

図5 (24) Themis 2021年4月9日 18h03m21s UT DAMIT Model 1848 ($\lambda = 329$ 、 $\beta = +70$)
 $P = 2$ 、 $\beta_e = -16^\circ$ 、 $\lambda_e = +111^\circ$ 、Scale Factor 1: 0.84、 $k = 0.978$ 、 $B = 80.1^\circ$

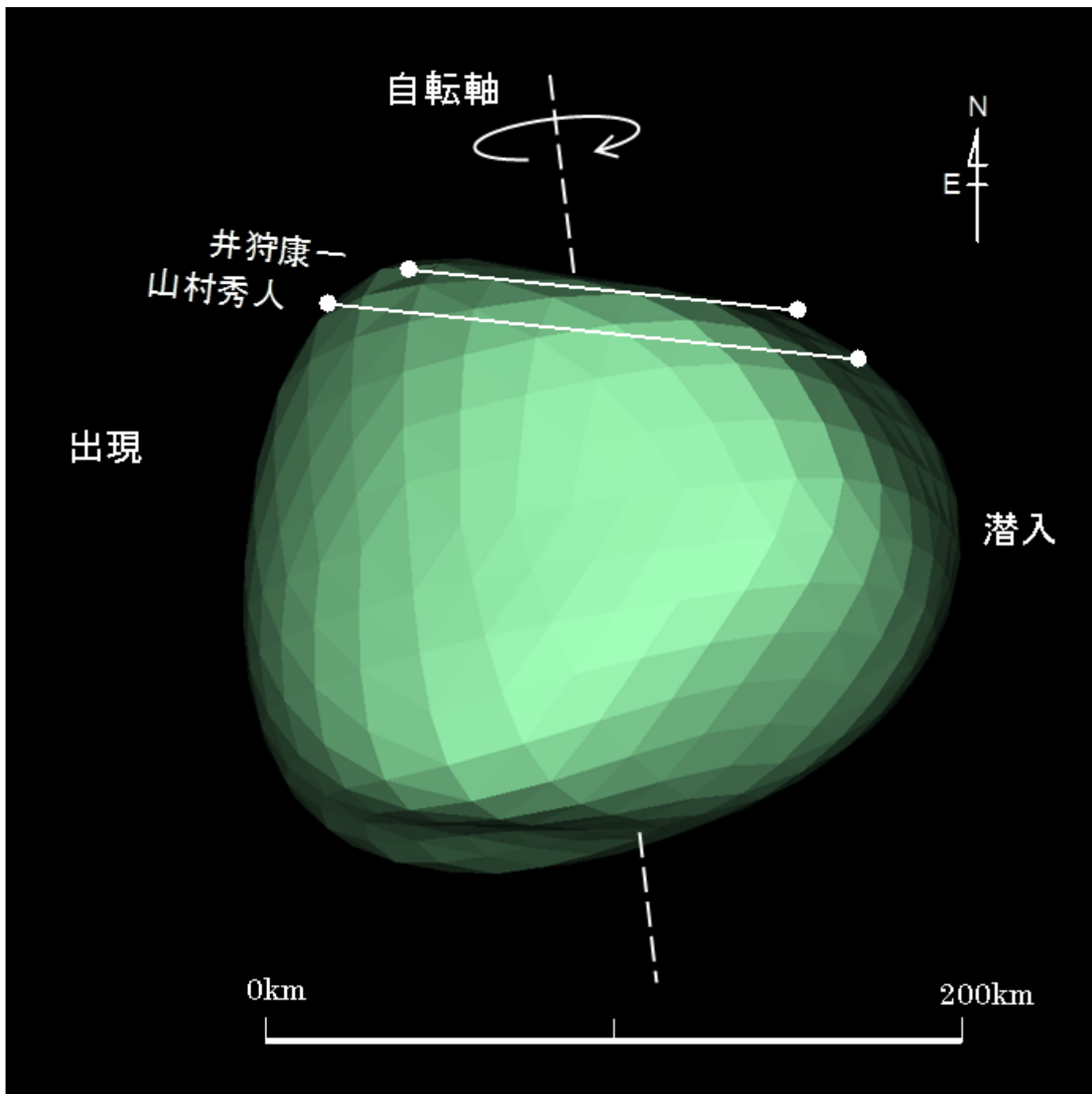


図6 (24) Themis 2021年8月1日 14h53m50s UT DAMIT Model 1848 ($\lambda = 329$ 、 $\beta = +70$)
 $P = 7^\circ$ 、 $\beta_e = -14^\circ$ 、 $\lambda_e = +238^\circ$ 、Scale Factor 1: 0.884、 $k = 0.997$ 、 $B = 260.5^\circ$

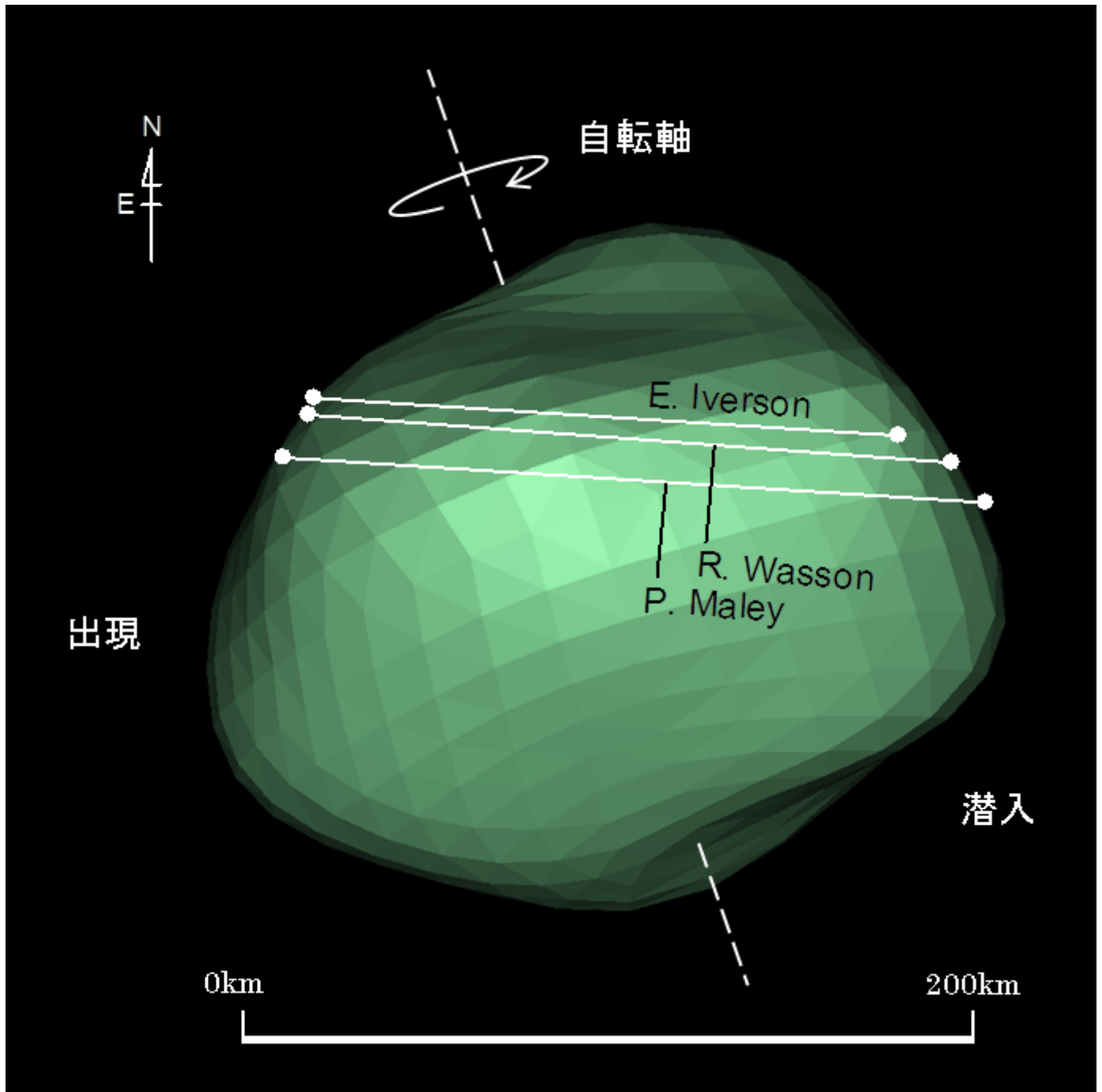


図7 (24) Themis 2015年4月30日 8h18m03s UT DAMIT Model 1848 ($\lambda = 329$ 、 $\beta = +70$)
 $P = 19$ 、 $\beta_e = -9^\circ$ 、 $\lambda_e = +91^\circ$ 、Scale Factor 1: 0.892、 $k = 0.987$ 、 $B = 91.9^\circ$

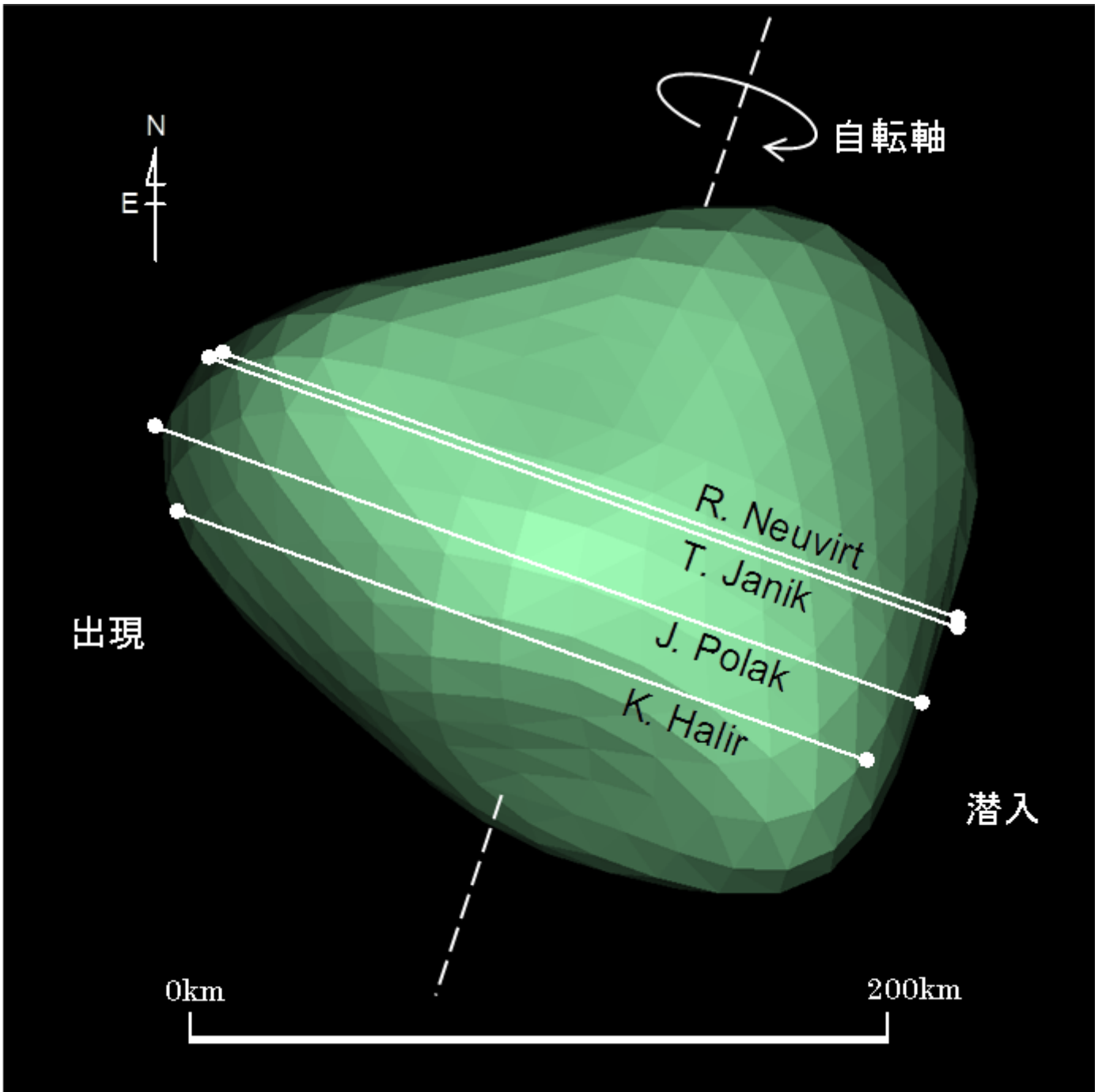


図8 (24) Themis 2016年7月31日 2h12m56s UT DAMIT Model 1848 ($\lambda = 329$ 、 $\beta = +70$)
 $P = 341$ 、 $\beta_e = -19^\circ$ 、 $\lambda_e = -14^\circ$ 、Scale Factor 1: 0.934、 $k = 0.998$ 、 $B = 73.1^\circ$